

بررسی خواص اپتیکی لایه نازک SiON تولید شده به روش رسوب‌گذاری

شیمیایی بخار پلاسمایی

مرضیه عباسی فیروزجاه

گروه علوم مهندسی، دانشگاه حکیم سبزواری، سبزوار، ایران

(دریافت مقاله: ۱۴۰۲/۱/۲۶ - پذیرش مقاله: ۱۴۰۲/۴/۳)

چکیده

خواص اپتیکی لایه‌های نازک اکسی نیترید سیلیکون (SiON) مورد بررسی قرار گرفته است. لایه‌های SiON به روش رسوب‌گذاری شیمیایی بخار پلاسمایی روی زیرلایه‌های شیشه و سیلیسوم رشد داده شدند. برای تولید پلاسما از منبع تغذیه فرکانس رادیویی با کوپل خازنی استفاده شده است. همچنین از ماده آلی سیلیکاتی ترااتیل اورتوسیلیکات (TEOS)، اکسیژن و نیتروژن به ترتیب برای منبع سیلیسیوم، گاز اکسیدکننده و منع نیتروژن استفاده شده است. مکانیزم رشد و تغییرات ضربی شکست و همچنین تغییرات جذب اپتیکی لایه‌ها مورد مطالعه قرار گرفته است. از نتایج می‌توان فهمید که گونه‌های فعال نیتروژن اتعی و یونی تولید شده در حجم پلاسما مشابه ذرات اکسیژنی در مکانیزم اکسیداسیون عمل کرده و باعث تجزیه TEOS مولکول‌های می‌شوند. از این رو افزایش شار نیتروژن در ترکیب گازی پلاسما موجب کاهش ناخالصی‌های آلی ناشی از مونومرهای TEOS می‌گردد. زیری لایه‌ها کمتر از ۰.۲ nm اندازه گیری شدند. همچنین، نتایج بررسی نشان داد که با افزودن گاز نیتروژن در ترکیب گازی پلاسما می‌توان بدون تغییر قابل توجهی در شفافیت لایه‌های اکسید سیلیسیوم ضربی شکست آن را افزایش داد. در نهایت با افزایش شار نیتروژن از ۰ تا ۸۰ sccm ضربی شکست لایه‌ها از ۱.۴۶۴ تا ۱.۴۴۶ افزایش یافت در حالی که میزان جذب اپتیکی لایه‌ها در همه موارد کمتر از ۱ اندازه گیری شد.

واژه‌های کلیدی: رسوب‌گذاری شیمیایی بخار پلاسمایی؛ SiON؛ ضربی شکست؛ شفافیت؛ AFM

Investigating Optical Properties of SiON Thin Film Produced by Plasma Enhanced Chemical Vapor Deposition Method

Abstract

The optical properties of silicon oxynitride thin films (SiON) have been investigated. SiON films were grown on glass and silicon substrates by plasma enhanced chemical vapor deposition. A radio frequency power source with a capacitor coupler is used to produce plasma. Moreover, tetraethyl-orthosilicate (TEOS), oxygen, and nitrogen have been used as silicon source, oxidizing gas, and nitrogen source, respectively. Growth mechanism and the variation of the refractive index as well as the variation of the optical absorption of the films have been studied. From the results, it can be understood that the atomic and ionic active nitrogen species produced in the plasma volume act similar to oxygen species in the oxidation mechanism and cause the decomposition of TEOS molecules. Therefore, the increase of nitrogen flux in the plasma gas mixture results in the reduction of organic impurities caused by TEOS monomers. The roughness of the films was measured below 0.2 nm. The results also showed that by adding nitrogen gas in the plasma gas mixture, it is possible to increase the refractive index of the silicon oxide films without significant change in their transparency. Finally, with the increase of nitrogen flux from 0 to 80 sccm, the refractive index of the films increased from 1.446 to 1.464, while the optical absorption was measured to be less than 1 in all cases.

Keywords: Plasma Enhanced chemical vapor deposition; SiON; refractive index; AFM

E-mail of Corresponding author: abbasimarzieh@gmail.com

متعدد آن و امکان ترکیب کردن عناصر مختلف به درون

لایه را ایجاد می کند. [۴-۷]

برای دستیابی به ویژگی مورد نظر و یا تغییر خواص لایه های اکسید سیلیسیوم برای کاربردهای خاص ترکیبات مختلفی از این اکسید با افزودن انواع عناصر تولید می شود. از جمله می توان افزودن کربن، هیدروژن، فلوئور و یا نیتروژن برای افزایش تخلخل، کاهش ضربی شکست، کاربردهای زیستی و افزایش مقاومت در برابر نفوذ اکسیژن و یا بخار آب و یا ارتفا پایداری مکانیکی نام برد [۸-۱۴]. در کاربردهای اپتیکی لایه های بر پایه اکسید سیلیسیوم با ضربی شکست های قابل تنظیم کاربردهای وسیعی دارند که در عین حال لازم است دارای شفافیت بالا باشند. تا کنون تحقیقات زیادی در رابطه با تولید ترکیبات مختلف بر پایه اکسید سیلیسیوم برای کاربردهای اپتیکی صورت گرفته است ولی بررسی شفافیت لایه ها در کنار بررسی تغییرات ضربی شکست لایه ها (به ویژه برای ضربی شکست بالاتر از لایه اکسید سیلیسیوم) هنوز نیاز به تحقیقات بیشتری دارد [۱۴ و ۱۵]. از طرفی بررسی ضربی شکست و جذب اپتیکی لایه نازک با ترکیب اکسی نیترید سیلیکون بسیار کم مورد بررسی قرار گرفته است.

هدف از این تحقیق تولید لایه های اکسید سیلیسیومی با ساختار SiO_xN_y با استفاده از پیش ماده آلی سیلیکاتی TEOS به همراه گازهای اکسیژن و نیتروژن است. همچنین در این تحقیق به بررسی اثر افزایش شار گاز نیتروژن در ترکیب گازی پلاسمای $\text{TEOS}-\text{اکسیژن}$ در تغییر مکانیزم رشد و ضربی شکست و شفافیت لایه های پرداخته می شود.

مواد و روش تحقیق

لایه های نازک SiO_xN_y با استفاده از دستگاه پلاسمایی کوپل خازنی در فرکانس رادیویی ۱۳.۵۶ مگاهرتز، روی زیرلایه های سیلیسیوم پوشش دهی شدند. زیرلایه ها قبل

مقدمه

ضریب شکست و ثابت دی الکتریک لایه های اکسید سیلیسیوم خالص و چگال به ترتیب برابر $1/45$ و $4/0$ است. این ماده جزء مواد با ضربی شکست کم و همچنین شفافیت بسیار بالاست. به طوری که ضربی جذب اپتیکی اکسید سیلیسیوم خالص نزدیک به صفر است. از این رو لایه های نازک ترکیبی سیلیکاتی که بر پایه اکسید سیلیسیوم باشند، کاربردهای بسیار متعددی در صنایع مختلف دارند. این پوشش ها کاربردهای وسیعی به ویژه در صنعت اپتیک و اپتوالکترونیک دارند [۱-۴].

پوشش های مورد نیاز صنایع اپتیک و اپتوالکترونیک، به عنوان مثال در ابزارهای اپتیکی از قبیل فیلترها، تشید کنده ها، موجبرها، بلورهای فتوونیکی، سلول های خورشیدی، سنسورهای نوری و دیودهای نوری، باید دارای کیفیت بسیار بالا و سطحی بسیار یکنواخت، همگن و با زبری بسیار پایین باشند. روشهایی که به منظور تولید چنین پوشش هایی انتخاب می گردد، علاوه بر قابلیت تولید پوشش با کیفیت لازم اپتیکی، باید بتواند ویژگی های اپتیکی کاملاً مشخصی را با خطای بسیار کمی برای این پوشش ها ایجاد کند. از جمله این ویژگی ها ضربی شکست، میزان جذب اپتیکی و ضخامت است. در بین روش های مختلفی که برای تولید لایه های نازک اکسید سیلیسیوم به کار می رود روش رسوب گذاری شیمیایی بخار پلاسمایی (PECVD) مزیت های بسیار زیادی دارد که از آن جمله تولید لایه های با کیفیت بسیار بالا که برای کاربردهای اپتیک و اپتوالکترونیک و همچنین نانوالکترونیک مطلوب است. در این روش لایه های چگال با زبری بسیار کم، یکنواختی و همگنی بسیار خوب، تنش کم، استحکام مکانیکی بالا، چسبندگی خوب به زیرلایه (مخصوصاً به سیلیکون و انواع پلیمرها) حاصل می گردد. علاوه بر این موارد، این روش قابلیت لایه نشانی در دمای کم و ایجاد پوشش یکنواخت سطوح با هندسه های سه بعدی پیچیده را دارد که در عین حال امکان کنترل بسیار دقیق ضخامت و خواص لایه را از طریق تنظیم متغیرهای

که از تصاویر دوبعدی AFM به دست آمده اند. در نهایت مقادیر میانگین زبری به همراه خطا گزارش شده است.

نتایج و بحث

نمودار تغییرات آهنگ رشد لایه بر حسب شار نیتروژن در شکل ۱ نشان داده شده است. همان طور که این نمودار نشان می‌دهد، با افزایش شار نیتروژن در ترکیب گازی پلاسمما و با ثابت ماندن شار اکسیژن و بخار TEOS، آهنگ رشد لایه کاهش می‌یابد. تغییرات ضخامت در مقادیر نیتروژن بیشتر از 60 sccm با شبیه تندتری نسبت به مقادیر نیتروژن کمتر از 60 sccm می‌باشد. برای توضیح این روند مکانیزم تشکیل لایه مورد بررسی قرار می‌دهیم. برای تشکیل لایه اکسید سیلیسیوم با استفاده از پیش ماده TEOS، مولکول‌های این ماده در محیط پلاسمما تجزیه شده و فرگمنت‌های ناشی از آن جذب سطح زیرلایه می‌شود. این فرگمنت‌ها در کنار یکدیگر قرار گرفته و با هم پیوند برقرار می‌کنند. شرط اینکه لایه ایجاد شده و رشد کند، این است که مولکول‌های TEOS که جذب سطح لایه در حال رشد می‌شوند، تا اندازه‌ای کوچک باشند به عبارتی شاخه‌های ارگانیکی آن تا اندازه‌ای جدا شود. در غیر این صورت مولکول‌های TEOS یا فرگمنت‌هایی که به سطح می‌رسند اشباع شده و نسبت پیوندهای آزاد کمتر شده و مانع از برقراری پیوند بین ذرات می‌شود [۱۶].

هرچه فرگمنت‌هایی که به سطح می‌رسند، کوچکتر باشند لایه با ناخالصی‌های آلی کمتری تولید می‌شود. این ناخالصی‌های آلی ناشی از پیوندهای C-H در شاخه‌های آلکالی متصل به مولکول‌های TEOS و فرگمنت‌های آن است. بنابراین هرچه فرگمنت‌ها کوچکتر باشند، این پیوندها کمتر در ترکیب لایه قرار خواهد گرفت [۱۰ و ۱۱]. در محیط پلاسمایی TEOS-O_2 ، مولکول‌های TEOS طی دو مکانیزم اصلی برخورد الکترونی و اکسیداسیون به فرگمنت‌های کوچکتر تجزیه می‌شوند. با ثابت بودن توان اعمالی و فشار کاری، مقدار یونیزاسیون تقریباً ثابت بوده و چگالی الکترون‌های آزاد و فعل در محیط پلاسمما نیز

از انتقال به محفظه لایه‌نشانی با استفاده از حمام آلتراسونیک به ترتیب با آب مقطر دوبار-سینیزه و اتانول هر کدام به مدت ۱۵ دقیقه شستشو می‌شوند. ترکیب گازی مورد استفاده برای تشکیل پلاسمما، گاز اکسیژن و گاز نیتروژن هر کدام با خلوص ۹۹.۹۹۹٪ و بخار TEOS (از شرکت Merck) با خلوص ۹۹٪ بوده است. شار گازها و شار بخار TEOS به ترتیب با دستگاه کنترل کننده شار جرمی و سیستم تبخیر تنظیم و کنترل می‌شوند. شار اکسیژن و شار بخار TEOS، به ترتیب با مقادیر 200 sccm و 8 sccm ثابت نگه داشته می‌شوند. شار نیتروژن از مقدار 0 sccm تا 100 sccm تغییر داده می‌شود. همچنین، فشار پایه محفظه حدود 0.5 میلی تور ، توان به اندازه 150 وات و فشار کاری فرآیند 60 میلی تور بوده است. مدت زمان فرآیند پوشش‌دهی در همه آزمایشات، ۵ دقیقه تنظیم شد. در فرآیند لایه نشانی از هیچ دستگاه گرمایشی خارجی برای گرم کردن زیرلایه‌ها استفاده نشده است.

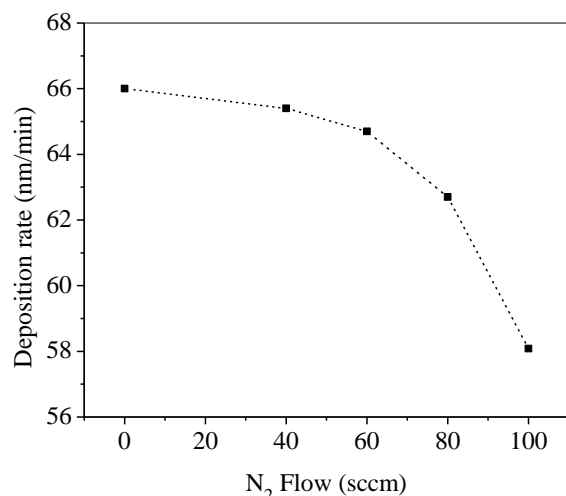
ضخامت، ضربی شکست و ضربی جذب لایه‌ها با استفاده از دستگاه بیضی‌سنجدی طیفی (مدل SE800) مشخصه‌یابی شوند. خواص اپتیکی لایه‌ها به صورت طیفی و در محدوده 400 تا 900 نانومتر اندازه‌گیری شوند. در این اندازه‌گیری‌ها با استفاده از دستگاه بیضی‌سنجدی، زاویه پرتو فروندی 70° تنظیم می‌شود. این مقدار به علت نزدیک بودن به زاویه بروستر انتخاب شده است. در اندازه‌گیری‌های بیضی‌سنجدی برای بالا بردن دقت اندازه‌گیری، زاویه پرتو فروندی در حدود زاویه بروستر انتخاب می‌شود تا نوری تقریباً قطبیده به دست آید.

به منظور مطالعه مورفولوژی و بررسی زبری سطح لایه‌ها از دستگاه میکروسکوپ نیروی اتمی (AFM) (مدل Nanosurf Easyscan2 Flex-AFM) است. آنالیز AFM برای هر نمونه چندین بار تکرار شده است. تصویربرداری‌ها در ابعاد $3 \times 3 \text{ میکرومتر}$ انجام شده‌اند. در هر تصویر 256×256 خط و در هر خط 256 نقطه اسکن شده است. مقادیر زبری از نتایج تحلیل آماری نرم افزار از کمیت RMS حاصل شده است

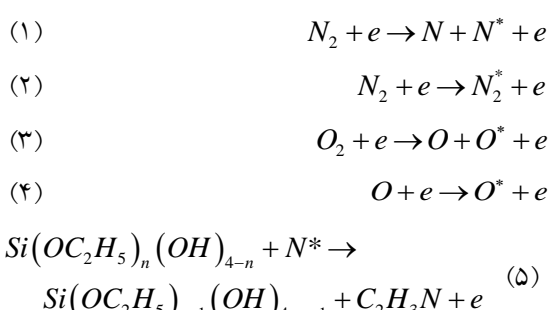
اندازه فرگمنت TEOS بزرگتر و شاخه آلکالی آن بیشتر خواهد بود. $N=4$ مربوط به مولکول تجزیه نشده TEOS است. N^* نیتروژن اتمی برانگیخته است. عامل دیگری که می‌تواند موجب تشدید روند کاهشی آهنگ رشد لایه شود، اثر کنده کاری ناشی از یون‌های مثبت و پر انرژی شود، نیتروژنی است که از ناحیه حجم پلاسمما وارد ناحیه غلاف پلاسمایی شده و سطح لایه در حال رشد را بمباران می‌کند. در سیستم پلاسمایی فرکانس رادیویی با کوپل خازنی، روی الکتروود توان شده با ولتاژی با فرکانس RF، یک ولتاژ بایاس منفی به طور خود به خودی القا می‌شود. در اثر این ولتاژ بایاس و میدانی که در ناحیه غلاف پلاسمما وجود دارد، یون‌های مثبت از جمله یون‌های مثبت نیتروژنی وارد شده به این ناحیه، شتاب می‌گیرند.

توپوگرافی سطح لایه‌ها با تصاویر دو بعدی از آنالیز AFM در ابعاد $3\mu m \times 3\mu m$ در شکل ۲ نشان داده شده است. همچنین آنالیز خطی مرتبط با آن در شکل ۳ نشان داده شده است. همان طور که در این شکل‌ها دیده می‌شود، لایه‌هایی که در مقادیر کمتر شار نیتروژن رسوب‌گذاری می‌شوند دارای یکنواختی بیشتری هستند. به طور کلی محدوده تغییرات توپوگرافی سطح حدود یک نانومتر است. نکته جالب توجهی که می‌توان به آن اشاره کرد این است که در تصویر AFM مربوط به لایه تولید شده در شار 100 sccm نیتروژن، حفره‌هایی روی سطح آن دیده می‌شود.

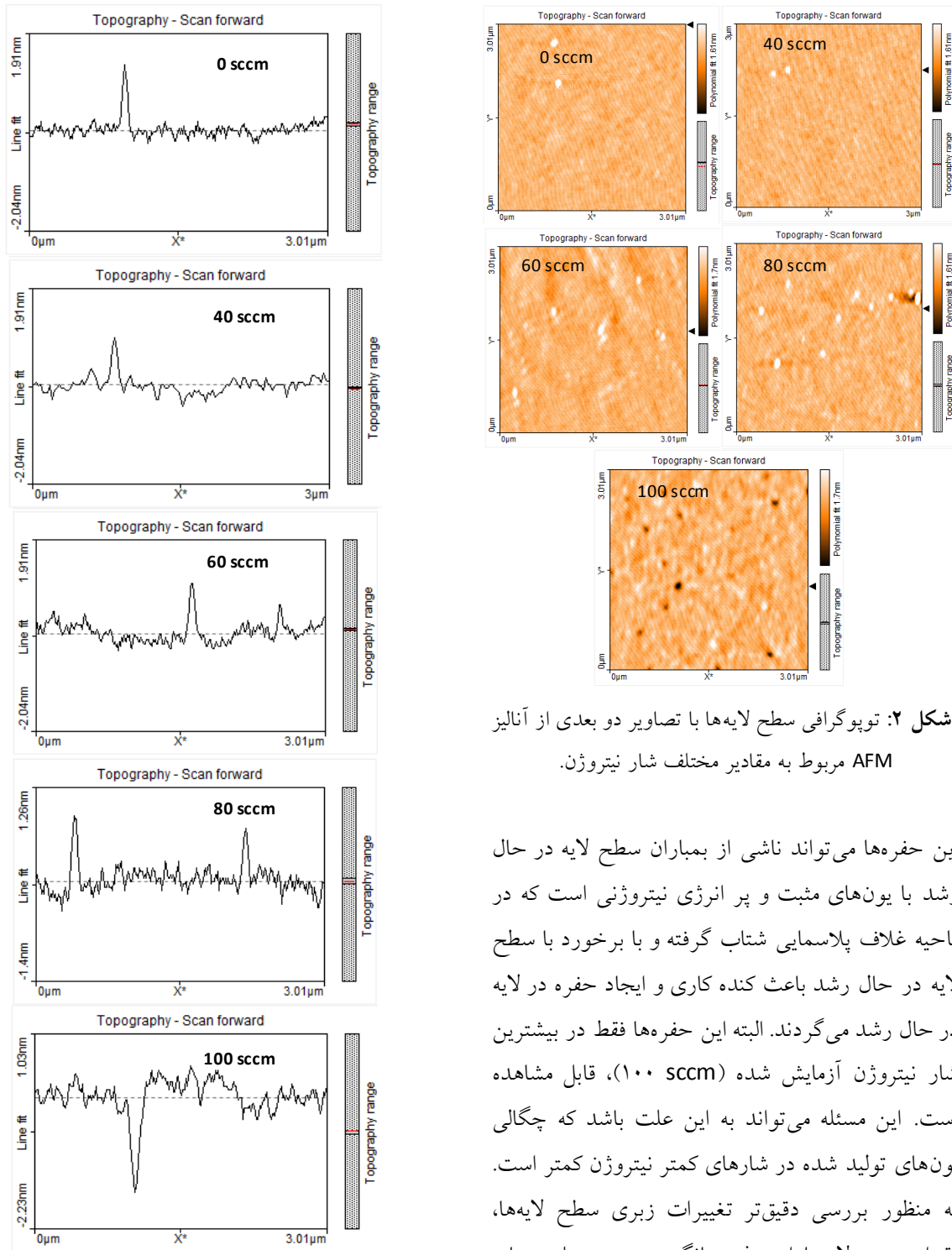
تقریباً بدون تغییر خواهد ماند [۱۱]. بنابراین با افزایش شار نیتروژن، سهم مکانیزم برخورد الکترونی در تجزیه مولکول‌های TEOS تغییر قابل ملاحظه‌ای نخواهد داشت. از طرفی با ثابت بودن شار اکسیژن و توان اعمالی چگالی اتم‌های و یون‌های فعال اکسیژنی نیز تغییر نمی‌کند. در اینجا می‌توان گفت مولکول‌های نیتروژن در محیط پلاسمما تجزیه شده و نیروژن‌های فعال اتمی و یونی تولید می‌کند که مشابه مکانیزم اکسیداسیون می‌تواند باعث تجزیه مولکول‌های TEOS شوند [۸ و ۱۱]. در زیر واکنش‌های اصلی مربوط به تجزیه مولکول‌های اکسیژن و نیتروژن و همچنین واکنش مولکول و یا فرگمنت‌های TEOS با نیتروژن‌های اتمی برانگیخته آمده است: [۸ و ۱۱]



شکل ۱: تغییرات آهنگ رشد لایه بر حسب شار نیتروژن.



که در آن $(OC_2H_5)_n(OH)_{4-n}$ فرگمنت‌های TEOS بوده و n عدد صحیح بین ۱ تا ۴ است و هر چه بزرگتر باشد

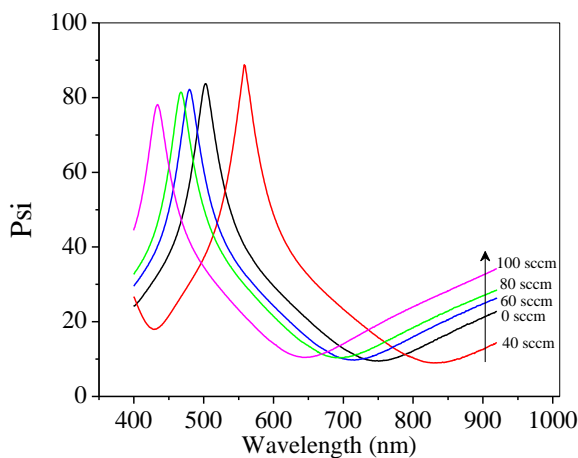


شکل ۳: آنالیز خطی AFM از سطح لایه‌ها مربوط به مقادیر مختلف شار نیتروژن.

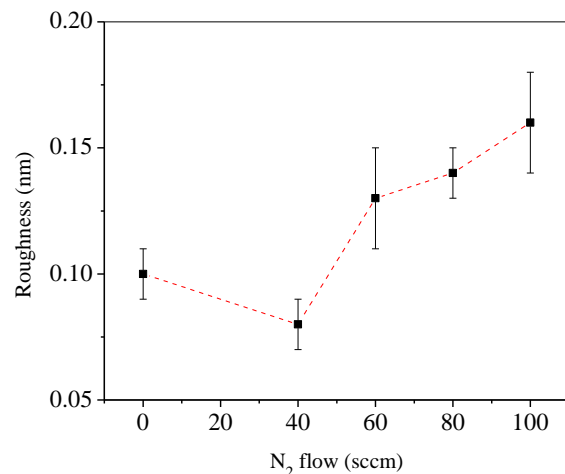
شکل ۲: توپوگرافی سطح لایه‌ها با تصاویر دو بعدی از آنالیز AFM مربوط به مقادیر مختلف شار نیتروژن.

این حفره‌ها می‌توانند ناشی از بمباران سطح لایه در حال رشد با یون‌های مثبت و پر انرژی نیتروژنی است که در ناحیه غلاف پلاسمایی شتاب گرفته و با برخورد با سطح لایه در حال رشد باعث کنده کاری و ایجاد حفره در لایه در حال رشد می‌گردند. البته این حفره‌ها فقط در بیشترین شار نیتروژن آزمایش شده (۱۰۰ sccm)، قابل مشاهده است. این مسئله می‌تواند به این علت باشد که چگالی یون‌های تولید شده در شارهای کمتر نیتروژن کمتر است. به منظور بررسی دقیق‌تر تغییرات زبری سطح لایه‌ها، مقدار زبری لایه‌ها از جذر میانگین پستی و بلندی‌های سطح مربوط به تصاویر دو بعدی $3\mu m \times 3\mu m$ استخراج شده و نمودار تغییرات آن بر حسب شار نیتروژن در شکل ۴ نشان داده شده است.

در شکل ۵ داده‌های طیفی ψ (Psi) و Δ (Delta) به دست آمده مربوط به مقادیر مختلف شار نیتروژن نشان داده شده است. برای مدل‌سازی از ساختار سه لایه‌ای شامل هوا، یک لایه نازک مدل کوشی و یک زیرلایه سیلیکانی استفاده می‌شود. مدل کوشی متداول‌ترین مدل به کار رفته برای لایه‌های شفاف است [۲۰ و ۲۱].



شکل ۵: تغییرات نمودارهای طیفی ψ (Psi) و Δ (Delta) به دست آمده مربوط به مقادیر مختلف شار نیتروژن.

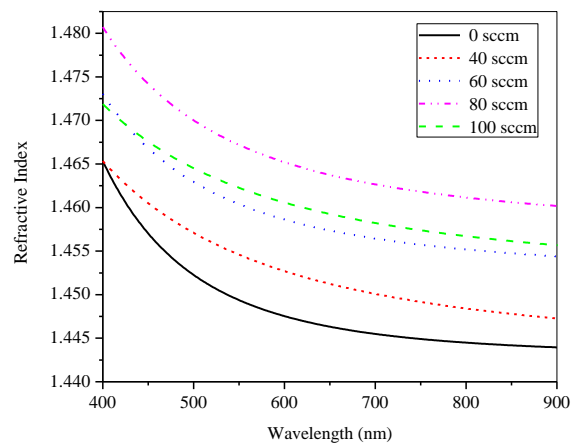


شکل ۴: تغییرات زبری سطح لایه‌ها بر حسب شار نیتروژن.

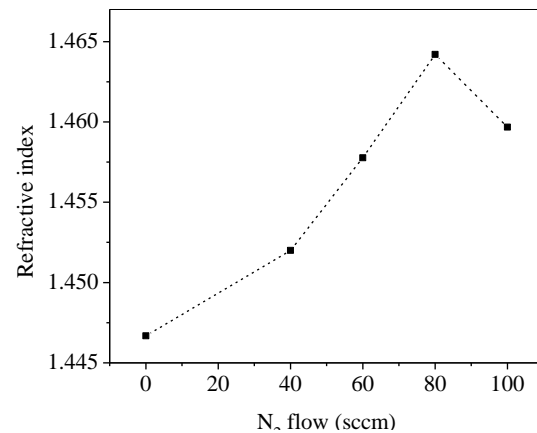
نتایج محاسبه زبری نشان می‌دهد که با تغییر شار نیتروژن از ۰ تا ۴۰ sccm، زبری لایه کاهش داشته است که این می‌تواند به دلیل شکسته شدن شاخه‌های آلکالی در فرگمنت‌های TEOS در اثر واکنش با نیتروژن‌های اتمی فعال باشد که باعث کاهش ناخالصی و در نتیجه افزایش نظم ساختاری لایه می‌گردد. ولی با افزایش بیشتر شار نیتروژن از ۴۰ sccm تا ۱۰۰ sccm، زبری سطح لایه‌ها افزایش پیدا کرده است. با بیشتر شدن غلظت گاز نیتروژن در ترکیب گازی پلاسماء، عناصر نیتروژن می‌توانند به صورت پیوندهای نیتروژنی (Si-N) به درون ساختار شیمیابی لایه اکسید سیلیسیوم وارد شود. [۸] در اثر جایگزین شدن این پیوندها با پیوندهای Si-O، زاویه پیوندی شبکه ساختاری اکسید سیلیسیوم تغییر کرده و نظم ساختاری لایه مختل می‌شود. از این رو با افزایش شار نیتروژن در این بازه، زبری سطح افزایش می‌یابد. البته باید توجه داشت طبق نتایج برخی گزارشات [۸ و ۱۱] تغییرات زبری ناشی از شار نیتروژن بسیار کمتر از اثر سایر متغیرهای فرآیند از قبیل توان اعمالی، فشار کاری و شار اکسیژن است. این به این دلیل است که در همه آزمایشات انجام شده در این تحقیق، توان اعمالی و شار اکسیژن به اندازه کافی بالا است و در این شرایط تا حد قابل ملاحظه‌ای مولکول‌های TEOS تجزیه شده و لایه چگال و با زبری کمی تولید می‌شود.

با توجه به شکل ۵ (الف) و ۵ (ب) می‌توان دید که روند تغییر فرکانس مربوط به قله در نمودار Psi و مکان کمینه در نمودار Delta، برای لایه‌هایی که با شار نیتروژن تولید شده‌اند، با افزایش شار نیتروژن به سمت فرکانس‌های کمتر انحراف پیدا کرده‌اند. در حالی که در مورد لایه‌ای که بدون شار نیتروژن تولید شده است، این انحراف متفاوت است و محل فرکانس قله یا کمینه در این نمودارها در فرکانس کمتر از لایه مرتبط به ۴۰ sccm نیتروژن واقع شده است. این مسئله می‌تواند به علت تغییر شبکه ساختاری لایه اکسید سیلیسیوم در اثر وارد شدن عنصر نیتروژن به ترکیب لایه باشد. در واقع با ورود عنصر نیتروژن و پیوندهای نیتروژنی به ساختار لایه، پیوندهای ساختاری اکسید سیلیسیوم تغییر می‌کند. این تحلیل با توضیح نتایج آنالیز AFM نیز همخوانی دارد. تغییرات ضریب شکست لایه‌ها بر حسب طول موج ($n(\lambda)$) که در مقادیر مختلف شار نیتروژن تولید شده‌اند در شکل ۶ نشان داده شده است. برای مقایسه روند تغییرات، مقادیر ضریب شکست لایه‌ها در طول موج ۶۳۳ نانومتر در نمودار شکل ۷ نشان داده شده است. با توجه به این نمودار با افزایش شار نیتروژن از ۰ تا ۸۰ sccm، ضریب شکست لایه از ۱.۴۶۴ تا ۱.۴۴۶ افزایش داشته است.

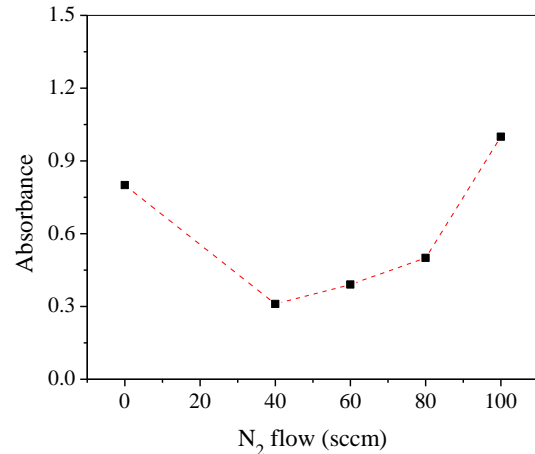
ضریب شکست لایه‌ای SiON می‌تواند بسته به مقدار نیتروژن در ترکیب آن، از حدود ۱/۴۵ تا حدود ۲/۰ تغییر کند که اولی مربوط به ضریب شکست لایه اکسید سیلیسیوم (SiO_2) خالص و چگال است و دومی مربوط به لایه SiN خالص و چگال. علت این افزایش ضریب شکست به دلیل بیشتر بودن قطبی پذیری پیوندهای Si-N نسبت به Si-O است [۸]. از طرفی مطابق شرح نتایج زبری و آهنگ رشد لایه، با افزایش نیتروژن میزان ناخالصی‌های آلی لایه نیز کاهش پیدا می‌کند در نتیجه لایه با نظم ساختاری بیشتر و چگالی بیشتری رشد می‌کند و این باعث افزایش ضریب شکست لایه می‌گردد. با افزایش



شکل ۶: تغییرات ضریب شکست لایه‌ها به صورت تابعی از طول موج ($n(\lambda)$) مربوط به مقادیر مختلف شار نیتروژن.



شکل ۷: روند تغییرات ضریب شکست لایه‌ها در طول موج ۶۳۳ نانومتر.



شکل ۸: روند تغییرات در صد جذب اپتیکی لایه‌ها در طول موج ۶۳۳ نانومتر.

که شامل پیوندهای کربنی نیز هستند موجب کاهش جذب اپتیکی شده است و در ادامه روند ایجاد پیوندهای نیتروژنی و جایگزین شدن با پیوندهای ساختاری اکسید سیلیسیوم موجب افزایش مجدد جذب اپتیکی شده است. در تحقیقی که لایه اکسی نیترید سیلیکون برای کاربرد به عنوان سد نفوذ بخار آب و اکسیژن تولید شد و خواص آن مورد بررسی قرار گرفت، نتایج اپتیکی به دست آمده با نتایج این تحقیق همخوانی داشته است [۸]. به طوری که نتایج تحقیق مذکور نیز مشابه با نتایج تحقیق حاضر نشان داد که با افزایش شار نیتروژن ضریب شکست لایه اکسید سیلیسیوم افزایش یافته و میزان عبور اپتیکی نیز بدون تغییر مانده است که نشان دهنده این است که لایه همچنان در محدوده نور مرئی شفاف مانده است.

نتیجه‌گیری

در این تحقیق لایه‌های نانومتری و شفاف SiO_xN_y با استفاده از روش پلیمریزاسیون پلاسمایی و با استفاده از پیش ماده آلی سیلیکاتی TEOS تولید شده است. برای تغییر ضریب شکست لایه‌ها تأثیر افزودن مقادیر مختلف شار نیتروژن از 0 تا 100 sccm به ترکیب گازی پلاسمای TEOS-اکسیژن مورد بررسی قرار گرفته است. نتایج اندازه‌گیری ضخامت لایه‌ها نشان داد که افزایش شار نیتروژن موجب کاهش آهنگ رشد لایه‌ها می‌شود که این به دلیل کاهش اندازه فرگمنت‌های TEOS و همچنین اثر کنده‌کاری سطح لایه در حال رشد توسط یون‌های نیتروژنی فعال در منطقه غلاف پلاسمایی می‌باشد. نتایج بررسی مورفلوژی و زبری سطح لایه‌ها نشان داد که با افزایش شار نیتروژن زبری ابتدا کاهش و سپس افزایش می‌یابد. این روند با نتایج ضریب جذب اپتیکی لایه‌ها نیز در توافق بوده است. در هر دو مورد ابتدای روند تغییرات به علت کاهش میزان پیوندهای آلی شامل پیوندهای کربنی بوده است و در ادامه ایجاد پیوندهای نیتروژنی و

بیشتر شار گاز نیتروژن از 80 sccm تا 100 sccm ضریب شکست لایه کاهش پیدا کرده است که این می‌تواند به دلیل کاهش چگالی لایه در اثر حفره‌های ایجاد شده به موجب بباران سطح لایه در حال رشد توسط یون‌های نیتروژنی با انرژی و شتاب زیاد در منطقه غلاف پلاسمایی باشد. این نتیجه به خوبی با نتیجه مورفلوژی سطح در آنالیز AFM تطابق دارد.

شایان توجه است با افزایش زیاد شار نیتروژن، ضریب شکست لایه‌ها به مقدار کمی افزایش داشته است که دلیل آن می‌تواند تشکیل پیوندهای نسبتاً کم Si-N در ساختار لایه اکسیدی باشد. با توجه به این نتیجه می‌توان گفت که مقادیر زیادی از گونه‌های فعال نیتروژنی تولید شده در پلاسما با گونه‌های فعال هیدروژنی و شاخه‌های آلکنی شکسته شده از فرگمنت‌های TEOS واکنش می‌دهند و سپس از محافظه توسط پمپ خلاً تخلیه می‌شوند. به این ترتیب کسر کوچکی از گاز نیتروژن به طور مؤثر با فرگمنت‌های مرکزی TEOS در فاز گازی و یا ساختار اکسیدی لایه در حال رشد در فاز سطحی واکنش داده و در ترکیب لایه قرار می‌گیرند.

در کاربردهای ابزار اپتیکی مقدار جذب اپتیکی یک مشخصه بسیار مهم و حیاتی است و در اغلب موارد باید تا حد امکان کم باشد. شکل ۸ روند تغییرات درصد جذب اپتیکی لایه‌ها (%) را در طول موج 633 نانومتر نشان می‌دهد. همان طور که در این شکل می‌توان دید 0.3% تا 10% است که این نشان دهنده شفافیت بسیار بالای لایه‌ها می‌باشد. ولی با این وجود روند تغییرات به گونه‌ای است که با اضافه نمودن شار نیتروژن به اندازه 40 sccm جذب اپتیکی لایه‌ها کاهش پیدا کرده است و افزایش بیشتر شار تا 100 sccm موجب افزایش میزان جذب اپتیکی شده است. این روند تغییرات مشابه تغییرات زبری لایه‌ها است و مطابق با تحلیل آن بخش، می‌توان گفت در ابتدای روند به علت کاهش ناخالصی‌های ارگانیکی لایه‌ها

- [7] J. Kim, S. Jung, K. Jang, H. Park, J. Cho, W. Lee, D. Gong, B. Choi, Y. Kim, J. Park, K. Kim, J. Yi, *Electrochim. Soc.* 157 (2010) 182–185.
- [8] M. Shahpanah, S. Mehrabian, M. Abbasi-Firouzjah, B. Shokri, *Surface and Coatings Technology* 358 (2019) 91–97.
- [9] M. Abbasi-Firouzjah, B. Shokri, (2020) *Thin Solid Films*, 698, 137857.
- [10] Marzieh Abbasi-Firouzjah, Babak Shokri, *Thin Solid Films*, 577, 2015, 67-73.
- [11] M. Abbasi-Firouzjah, S. I. Hosseini, M. Shariat, B. Shokri, *J. Non-Cryst. Solids* 368 (2013) 86-92.
- [۱۲] عباسی فیروزجاه مرضیه، محمودی هادی، شکری بابک، بررسی اثر شار گاز استیلن در ترکیب پلاسما بر خواص ساختاری و اپتیکی لایه نازک آلانیده با کربن، *علوم و مهندسی سطح*، ۴۳(۱۳۹۹) ۳۲-۲۱.
- [۱۳] عباسی فیروزجاه مرضیه، شکری بابک، بررسی فرآیند پلیمریزاسیون پلاسمایی برای تولید لایه سیلیکاتی متخلخل، *علوم و مهندسی سطح*، ۴۵(۱۳۹۹) ۶۴-۵۱.
- [14] Jain, M., Ramos-Serrano, J. R., Dutt, A., & Matsumoto, Y. (2020, November). Photoluminescence properties of thin-film SiO_x C_y deposited by O-Cat CVD technique using MMS and TEOS. In 2020 17th International Conference on Electrical Engineering, Computing Science and Automatic Control (CCE) (pp. 1-6). IEEE.
- [15] Podlucky, L., Vincze, A., Kováčová, S., Chlpík, J., Kováč, J., & Uherek, F. (2021). Optimization of Fabrication Process for SiON/SiO_x Films Applicable as Optical Waveguides. *Coatings*, 11(5), 574.
- [16] M.T. Kim, *Thin Solid Films* 360 (2000) 60-68.
- [17] K. Takizawa, Y.Mori, N.Miyatake, K.Murata, *Thin Solid Films* 516 (2008) 3605–3609.
- [18] L. Zhang, F. Yao, G. Zhao, Y. Hao, Q. Sun, (2014) *Plasma Science and Technology*, 16(3), 203.
- [19] H.G. Tompkins, J.N. Hilfiker, *Spectroscopic Ellipsometry: Practical Application to Thin Film Characterization*, Momentum Press, New York, 2015.

جایگزین شدن با پیوندهای ساختاری اکسید سیلیسیوم تأثیرگزار بوده است. البته لازم به ذکر است که تغییرات میزان جذب اپتیکی لایه‌ها بسیار کم و برای همه لایه‌ها کمتر از ۱٪ بوده است. تغییرات ضریب شکست لایه‌ها نیز نشان داد که با افزایش شار نیتروژن ضریب شکست افزایش یافته است که این به دلیل تولید لایه چگال‌تر با نظم ساختاری بیشتر به موجب کوچک‌تر شدن فرگمنت-های TEOS است و علت دیگر آن افزایش احتمال برقراری پیوندهای نیتروژنی و جایگزین شدن آنها با پیوندهای ساختاری اکسید سیلیسیومی می‌باشد. البته با افزایش بیش از یک حد خاص شار نیتروژن، ضریب شکست کاهش یافته است و این به علت ایجاد نانوحفره‌هایی در ساختار لایه در حین فرآیند رشد بوده است که موجب ایجاد تخلخل و در نتیجه کاهش چگالی لایه می‌شود.

منابع

- [1] Y.C. Tsai, J. Shieh. *Appl. Surf. Sci.* 479 (2019) 619-625.
- [۲] مظفری‌نیا رضا، ارزیابی ضریب شکست نور در لایه‌های نازک سیلیکا، *علوم و مهندسی سطح*، ۴۸(۱۳۸۸) ۴۱-۴۸.
- [۳] بهاری علی و فدایی سیده مژده، ویژگی‌های نانو ساختار نقره/اکسید سیلیکون، *علوم و مهندسی سطح* .۴۷(۱۳۸۸) ۴۱-۴۷.
- [4] V. Hody-Le Caér, E. De Chambrier, S. Mertin, M. Joly, M. Schaer, J.L. Scartezzini, A. Schüler, *Energ.* 53 (2013) 27-34.
- [5] M.R. Holmes, L. Shuo, J. Keeley, M. Jenkins, K. Leake, H. Schmidt, A.R. Hawkins, *IEEE Photon. Technol. Lett.* 23 (2011) 1466-1468.
- [6] P.A. Premkumar, S.A. Starostin, M. Creatore, H. de Vries, R.M.J. Paffen, P.M. Koenraad, M.C.M. van de Sanden, *Plasma Process. Polym.* 7 (2010) 635-639.

[20] P. Uznanski, B. Glebocki, A. Walkiewicz-Pietrzykowska, J. Zakrzewska, A.M. Wrobel, J. Balcerzak, J. Tyczkowski, *Surf. Coat. Technol.* 350 (2018)